

Обратим внимание, что для сохранения ориентации контура в операторе `mesh` следует записывать внутренний контур в следующем формате `Gamma12(-5*n)` (подробнее см. гл. 17). Соответствующая строка кода, генерирующая сетку, имеет вид

```
mesh Th = buildmesh(Gamma2(5*n)+Gamma11(5*n)+Gamma3(5*n)+Gamma12(-5*n));
```

Еще один пример сложной области с отверстиями, для которой можно решать задачи (в частности, уравнение теплопроводности с заданными краевыми условиями), показан на рис. 3.7.

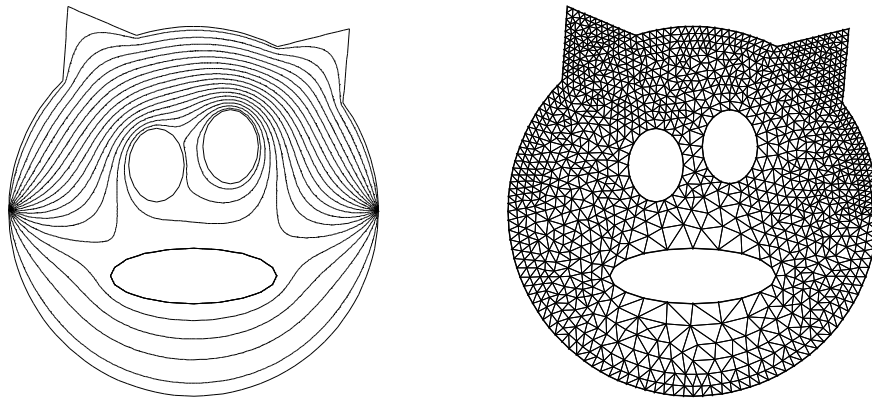


Рис. 3.7. Изолинии температуры в области сложной формы и триангуляция

### 3.3 Физические задачи, приводящие к уравнению Лапласа

Этот раздел носит справочный характер и предназначен в первую очередь для тех, кто, написав первую программу на языке FreeFem++, хочет расширить свой физический кругозор и исследовать некоторые модели реальных прикладных задач. Более полные сведения о постановке задач, конечно же, можно найти практически в любом курсе уравнений математической физики. Однако, на наш взгляд, полезно иметь возможность почерпнуть некоторую информацию непосредственно в книге о языке FreeFem++. Это, в частности, позволит сразу же провести вычислительные эксперименты и получить наглядное представление о многих физических процессах.

#### 3.3.1 Теплопроводность

Стационарное распределение температуры в некоторой области  $D$  описывается уравнением (уравнение баланса энергии)

$$\operatorname{div} \mathbf{q} = f, \quad (3.15)$$

где  $\mathbf{q}$  — плотность потока тепла,  $f$  — плотность внутренних источников.

Плотность потока тепла  $\mathbf{q}$  связана с температурой  $\theta$  законом теплопроводности Фурье

$$\mathbf{q} = -\kappa \nabla \theta, \quad (3.16)$$

где  $\kappa$  — коэффициент теплопроводности ( $\kappa \geq 0$ ).

Умножая (3.15) на  $v$  и интегрируя по области  $D$ , получим

$$-\iint_D \mathbf{q} \cdot \nabla v \, dx \, dy + \int_{\partial D} v \mathbf{q} \cdot \mathbf{n} \, ds - \iint_D v f \, dx \, dy = 0 \quad (3.17)$$

или с учетом (3.16)

$$\iint_D \kappa \nabla \theta \cdot \nabla v \, dx \, dy + \int_{\partial D} v \mathbf{q} \cdot \mathbf{n} \, ds - \iint_D v f \, dx \, dy = 0. \quad (3.18)$$

Далее считаем, что граница области  $D$  состоит из трех, возможно несвязных, фрагментов (некоторые  $\Gamma_i$  могут быть пустыми множествами)

$$\partial D = \Gamma_1 \cup \Gamma_2 \cup \Gamma_3.$$

Краевые условия первого рода, соответствующие заданию температуры на границе области, имеют вид

$$\theta|_{\Gamma_1} = \theta_0(x, y)|_{\Gamma_1}, \quad (3.19)$$

где  $\theta_0(x, y)$  — заданное распределение температуры на границе области.

С физической точки зрения такое условие соответствует случаю, когда область  $D$  «окружена» некоторой «внешней» областью («внешняя» область может быть отверстием в области  $D$ , см., например, рис. 3.6, 3.7), в которой известно распределение температуры  $\theta_0(x, y)$ . Кроме этого предполагается, что распределение температуры  $\theta$  в области  $D$  не влияет на распределение температуры  $\theta_0(x, y)$ . Такое возможно, по крайней мере, по двум причинам — размеры внешней области много больше размеров области  $D$ , теплоемкость (способность тела сохранять тепло) внешней области много больше теплоемкости области  $D$ .

Краевые условия второго рода, соответствующие заданию плотности потока тепла через границу области, имеют вид

$$(\mathbf{q} \cdot \mathbf{n})|_{\Gamma_2} = q_n^0(x, y)|_{\Gamma_2}, \quad (3.20)$$

где  $q_n^0(x, y)$  — заданная плотность потока тепла через границу (точнее, нормальная к границе компонента потока тепла).

Краевые условия третьего рода имеют вид

$$(\mathbf{q} \cdot \mathbf{n})|_{\Gamma_3} = \kappa_{\text{out}}(x, y)(\theta - \theta_{\text{out}}(x, y))|_{\Gamma_3}, \quad (3.21)$$

где  $\kappa_{\text{out}}$  — коэффициент внешней теплопроводности ( $\kappa_{\text{out}} \geq 0$ ),  $\theta_{\text{out}}(x, y)$  — температура на внешней границе области.

Случаи, когда  $q_n^0 = 0$  или  $\kappa_{\text{out}} = 0$ , соответствуют **теплоизолированным** участкам границы.

С физической точки зрения, краевые условия третьего рода (3.21) отвечают равенству нормальных компонент плотности внутреннего ( $\mathbf{q}$ ) и внешнего ( $\mathbf{q}^{\text{out}}$ ) потоков тепла на границе

$$(\mathbf{q} \cdot \mathbf{n})|_{\Gamma_3} = (\mathbf{q}^{\text{out}} \cdot \mathbf{n})|_{\Gamma_3}. \quad (3.22)$$

При теплообмене по закону Ньютона считается, что нормальная компонента плотности внешнего потока тепла определяется разностью температур на внутренней ( $\theta$ ) и внешней ( $\theta_{\text{out}}$ ) границах области при помощи соотношения

$$\mathbf{q}^{\text{out}} = -\kappa^{\text{out}}(\theta_{\text{out}} - \theta)\mathbf{n}. \quad (3.23)$$

Легко проверить, что это соответствует потоку тепла от горячего тела к холодному ( $\mathbf{n}$  — внешняя нормаль).

Краевое условие (3.21), соответствующее теплообмену тела с внешней средой по закону Ньютона получится при помощи (3.23) в (3.22).

Коэффициенты теплопроводности могут быть функциями, зависящими от координат. Случай  $\kappa = \kappa(x, y)$  соответствует неоднородной области, например, состоящей из различных материалов (медь, сталь). Случай  $\kappa_{\text{out}} = \kappa_{\text{out}}(x, y)$  моделирует неоднородности теплопроводящей границы.

Сильной формулировке задачи соответствуют уравнения (3.15), (3.16) с граничными условиями (3.19)–(3.21). Задача в слабой формулировке получится, если в (3.18) исключить при помощи условий (3.20) и (3.21) величину  $(\mathbf{q} \cdot \mathbf{n})$ , т. е. заменить  $(\mathbf{q} \cdot \mathbf{n})$  на правые части условий (3.20) и (3.21). Для выполнения краевых условий (3.19) следует требовать выполнения на границе  $\Gamma_1$  дополнительного ограничения на тестовые функции  $v$  — выполнения *однородных* условий  $v|_{\Gamma_1} = 0$ .

Одним из достоинств метода конечных элементов и языка FreeFem++ является возможность несложного модифицирования кода программы для решения задачи с коэффициентами, зависящими от координат.

Пусть, например,  $\kappa = \kappa(x, y)$ . Оператор, задающий функцию  $\kappa$ , имеет вид (для определенности,  $\kappa(x, y) = xy$ )

$$\text{Vh kappa} = x * y;$$

Эту строку следует вставить, например, между строками 22, 23 (см. с. 43).

Для решения с помощью языка FreeFem++ достаточно вместо строки 24 (см. с. 43)

```
solve Poisson(u,v) = int2d(Th)( dx(u)*dx(v) + dy(u)*dy(v) )
```

записать строку

```
solve Poisson(u,v) =
  int2d(Th)( kappa*(dx(u)*dx(v) + dy(u)*dy(v)) )
```

Особое внимание следует уделять решению второй краевой задачи Неймана, когда **на всей границе** поставлено краевое условие второго рода

$$(\mathbf{q} \cdot \mathbf{n})|_{\partial D} = q_n^0(x, y)|_{\partial D}. \quad (3.24)$$

В этом случае должно выполняться так называемое условие разрешимости, которое получается интегрированием по области  $D$  уравнения (3.15) с последующей заменой  $(\mathbf{q} \cdot \mathbf{n})$  при помощи (3.24)

$$\iint_D \operatorname{div} \mathbf{q} \, dx \, dy = \iint_D f \, dx \, dy \quad \Rightarrow \quad \int_{\partial D} (\mathbf{q} \cdot \mathbf{n}) \, ds = \iint_D f \, dx \, dy$$

и окончательно

$$\int_{\partial D} q_n^0 ds = \iint_D f dx dy. \quad (3.25)$$

Полученное соотношение означает, что при постановке задачи Неймана нельзя произвольно задавать плотность распределения источников тепла  $f(x, y)$  и плотность потока тепла на границе  $q_n^0|_{\partial D}$  — они должны удовлетворять соотношению (3.25).

Кроме этого, непосредственной подстановкой в (3.15), (3.16), (3.24) можно проверить, что если  $\theta$  является решением задачи, то и  $\theta + \text{const}$  также будет решением задачи. Это означает, что задача Неймана имеет не единственное решение (определяется с точностью до константы).

При численном решении задачи Неймана возникают дополнительные осложнения, связанные с тем, что, по причине наличия вычислительной погрешности, точно удовлетворить условиям разрешимости (3.25) невозможно. В дальнейшем (см. гл. 8 и формулы (8.25)–(8.29)) будут показаны некоторые варианты численного решения задачи Неймана.

В заключение, укажем способ, который позволяет визуализировать векторное поле, соответствующее потоку тепла. Для этого в код программы на с. 43 следует добавить строки

```
Vh qx=-dx(u) , qy=-dy(u) ;  
plot(u, [qx,qy] , coef=0.05, value=1);
```

Параметр `coef` регулирует длину стрелок векторов векторного поля при визуализации.

### 3.3.2 Диффузия

Предположим, что некоторая область  $D$  заполнена раствором, состоящим из растворителя и примеси. Стационарное распределение концентрации примеси описывается уравнением (уравнение баланса массы)

$$\text{div } \mathbf{i} = r, \quad (3.26)$$

где  $\mathbf{i}$  — плотность потока концентрации примеси,  $r$  — плотность внутренних источников концентрации, возникающих, например, в результате химических реакций.

Плотность потока концентрации  $\mathbf{i}$  связана с концентрацией  $c(x, y)$  законом Фика

$$\mathbf{i} = -D_c \nabla c, \quad (3.27)$$

где  $D_c$  — коэффициент диффузии ( $D_c \geq 0$ ).

Далее считаем, что граница области  $D$  состоит из трех, возможно несвязных, фрагментов (некоторые  $\Gamma_i$  могут быть пустыми множествами)

$$\partial D = \Gamma_1 \cup \Gamma_2 \cup \Gamma_3.$$

Краевые условия первого рода, соответствующие заданию концентрации на границе области, имеют вид

$$c|_{\Gamma_1} = c_0(x, y)|_{\Gamma_1}, \quad (3.28)$$

где  $c_0(x, y)$  — заданное распределение концентрации на границе области.

С физической точки зрения такое условие соответствует случаю, когда область  $D$  «окружена» некоторой «внешней» областью, в которой известна концентрация примеси  $c_0(x, y)$ , и предполагается, что распределение концентрации  $c$  в области  $D$  не влияет на распределение  $c_0(x, y)$ .

Краевые условия второго рода, соответствующие заданию плотности потока примеси через границу области, имеют вид

$$(\mathbf{i} \cdot \mathbf{n})|_{\Gamma_2} = i_n^0(x, y)|_{\Gamma_2}, \quad (3.29)$$

где  $i_n^0(x, y)$  — заданная плотность потока концентрации через границу (точнее, её нормальная к границе компонента).

Краевые условия третьего рода имеют вид (ср. с (3.21)-(3.23))

$$(\mathbf{i} \cdot \mathbf{n})|_{\Gamma_3} = D_{\text{out}}(x, y)(c - c_{\text{out}}(x, y))|_{\Gamma_3}, \quad (3.30)$$

где  $D_{\text{out}}$  — коэффициент внешней диффузии ( $D_{\text{out}} \geq 0$ ),  $c_{\text{out}}(x, y)$  — концентрация на внешней границе области.

Случай, когда  $i_n^0 = 0$  или  $D_{\text{out}} = 0$ , соответствуют участкам границы, **непроницаемым** для концентрации примеси.

Совершенно очевидно, что с математической точки зрения процессы теплопроводности и диффузии описываются одними и теми же уравнениями. Соотношения п. 3.3.1 и п. 3.3.2 становятся одинаковыми после формальных замен

$$\begin{aligned} \theta &\Leftrightarrow c, & \mathbf{q} &\Leftrightarrow \mathbf{i}, & \kappa &\Leftrightarrow D_c, & \kappa_{\text{out}} &\Leftrightarrow D_{\text{out}}, \\ \theta_{\text{out}} &\Leftrightarrow c_{\text{out}}, & q_n^0 &\Leftrightarrow i_n^0, & \theta_0 &\Leftrightarrow c_0, & f &\Leftrightarrow r. \end{aligned}$$

### 3.3.3 Электрический потенциал (электростатика)

Предположим, что в диэлектрике, занимающем некоторую область  $D$ , известна плотность распределения электрического заряда  $\rho_e(x, y)$ . Напряженность электрического поля  $\mathbf{E}$  связана с  $\rho_e(x, y)$  одним из уравнений Максвелла

$$\text{div}(\varepsilon \mathbf{E}) = \rho_e, \quad (3.31)$$

где  $\varepsilon$  — диэлектрическая проницаемость области  $D$  ( $\varepsilon > 0$ ).

Электрическое поле называется потенциальным, если напряженность электрического поля может быть представлена в виде

$$\mathbf{E} = -\nabla \varphi, \quad (3.32)$$

где  $\varphi$  — потенциал электрического поля.

Для уравнений (3.31), (3.32) на фрагментах границы  $\Gamma_1$  можно задавать краевые условия Дирихле

$$\varphi|_{\Gamma_1} = \varphi_0(x, y)|_{\Gamma_1}, \quad (3.33)$$

где  $\varphi_0(x, y)$  — заданное распределение электрического потенциала на  $\Gamma_1$ .

Для остальной части границы  $\Gamma_2 = \partial D \setminus \Gamma_1$  можно задавать краевые условия Неймана

$$(\mathbf{n} \cdot \nabla \varphi)|_{\Gamma_2} = \frac{\partial \varphi}{\partial n}|_{\Gamma_2} = \sigma_e(x, y)|_{\Gamma_2}, \quad (3.34)$$

где  $\sigma_e(x, y)$  — заданное распределение поверхностного заряда на  $\Gamma_2$  (если диэлектрик граничит с проводником, то  $\sigma_e(x, y) = 0$ ).

Формально можно рассматривать и третью краевую задачу, считая, что плотность поверхностного заряда линейно зависит от потенциала на границе. Однако физическая трактовка такого условия весьма затруднительна.

### 3.3.4 Электрический потенциал (проводимость)

Пусть  $\mathbf{j}$  — плотность электрического тока, протекающего через некоторую область  $D$ . Уравнение неразрывности электрического тока (закон сохранения заряда) имеет вид

$$\operatorname{div} \mathbf{j} = 0. \quad (3.35)$$

Плотность электрического тока связана с напряженностью электрического поля  $\mathbf{E}$  законом Ома

$$\mathbf{j} = \sigma \mathbf{E}, \quad (3.36)$$

где  $\sigma$  — электрическая проводимость области  $D$  ( $\sigma \geq 0$ ).

В случае потенциального электрического поля имеем

$$\mathbf{j} = -\sigma \nabla \varphi, \quad \mathbf{E} = -\nabla \varphi. \quad (3.37)$$

Для уравнений (3.35)–(3.37) с физической точки зрения разумно ставить лишь первые и вторые краевые условия

Далее считаем, что граница области  $D$  состоит из двух, возможно несвязных, фрагментов (некоторые  $\Gamma_i$  могут быть пустыми множествами)

$$\partial D = \Gamma_1 \cup \Gamma_2.$$

Краевые условия первого рода, соответствующие заданию потенциала на границе области, имеют вид

$$\varphi|_{\Gamma_1} = \varphi_0(x, y)|_{\Gamma_1}, \quad (3.38)$$

где  $\varphi_0(x, y)$  — заданное распределение электрического потенциала на  $\Gamma_1$ .

Заметим, что физически реализовать распределение потенциала, зависящее от координат, на каком-либо участке границы проводящей области довольно трудно. Чаще всего предполагается, что граница  $\Gamma_1$  состоит из нескольких несвязных фрагментов

$$\Gamma_1 = \Gamma_{11} \cup \Gamma_{12} \dots \Gamma_{1m}, \quad \Gamma_{1i} \cap \Gamma_{1j} = \emptyset, \quad i \neq j.$$

На каждом фрагменте  $\Gamma_{1k}$  задается *постоянное* значение потенциала

$$\varphi|_{\Gamma_{1k}} = \varphi_k = \text{const}, \quad k = 1, 2, \dots, m. \quad (3.39)$$

Краевые условия второго рода, соответствующие заданию плотности электрического тока, протекающего через границу области, имеют вид

$$(\mathbf{j} \cdot \mathbf{n})|_{\Gamma_2} = j_n^0(x, y)|_{\Gamma_2}, \quad (3.40)$$

где  $j_n^0(x, y)$  — заданная плотность электрического тока через границу.

Случай  $j_n^0 = 0$  соответствует электрически **изолированным** участкам границы. Также как и для краевых условий первого рода, чаще всего считается, что граница  $\Gamma_2$  состоит из нескольких несвязных фрагментов.

### 3.3.5 Потенциальное течение несжимаемой жидкости

Течение жидкости называется потенциальным, если скорость течения  $\mathbf{v}$  можно представить в виде

$$\mathbf{v} = \nabla\varphi. \quad (3.41)$$

Уравнение неразрывности для несжимаемой жидкости имеет вид

$$\operatorname{div} \mathbf{v} = 0. \quad (3.42)$$

Подставляя (3.41) в (3.42), получим

$$\Delta\varphi = 0. \quad (3.43)$$

Уравнение Бернулли, связывающее давление  $p$  со скоростью течения  $\mathbf{v}$ , записывается в форме (см. [16])

$$p + \frac{1}{2}\rho\mathbf{v}^2 = \text{const}, \quad (3.44)$$

где  $\rho$  — плотность жидкости ( $\rho = \text{const}$ ).

Это соотношение, справедливое для стационарного течения невязкой жидкости, легко выводится из стационарных уравнений Эйлера

$$\rho\mathbf{v} \cdot \nabla\mathbf{v} = -\nabla p \quad (3.45)$$

или в декартовых координатах (подразумевается суммирование по повторяющимся индексам)

$$\rho v_k \frac{\partial v_i}{\partial x_k} = -\frac{\partial p}{\partial x_i}. \quad (3.46)$$

Подставляя (3.41) в (3.46), получим

$$\rho \frac{\partial \varphi}{\partial x_k} \frac{\partial}{\partial x_k} \frac{\partial \varphi}{\partial x_i} = -\frac{\partial p}{\partial x_i}, \quad \rho \frac{\partial \varphi}{\partial x_k} \frac{\partial}{\partial x_i} \frac{\partial \varphi}{\partial x_k} = -\frac{\partial p}{\partial x_i}, \quad \frac{1}{2}\rho \frac{\partial}{\partial x_i} \left( \frac{\partial \varphi}{\partial x_k} \right)^2 = -\frac{\partial p}{\partial x_i}.$$

Интегрируя, выводим (3.44)

$$\frac{1}{2}\rho \frac{\partial}{\partial x_i} \left( \frac{\partial \varphi}{\partial x_k} \right)^2 = -\frac{\partial p}{\partial x_i}, \quad \frac{1}{2}\rho \left( \frac{\partial \varphi}{\partial x_k} \right)^2 + p = \text{const}, \quad \frac{1}{2}\rho\mathbf{v}^2 + p = \text{const}.$$

В двумерном случае уравнению неразрывности можно удовлетворить, вводя функцию тока  $\psi(x, y)$

$$u = \psi_y, \quad w = -\psi_x, \quad \mathbf{v} = (u, w), \quad (3.47)$$

где  $u, w$  — соответственно, компоненты скорости вдоль осей  $x$  и  $y$ .

Действительно, при дополнительных требованиях на гладкость (для возможности изменения порядка дифференцирования) имеем

$$\operatorname{div} \mathbf{v} = u_x + w_y = \psi_{yx} - \psi_{xy} \equiv 0.$$

Для функции тока  $\psi$  в случае потенциального течения справедливо уравнение Лапласа

$$\Delta\psi = 0, \quad (u_y - w_x = \psi_{yy} + \psi_{xx}, \quad u_y - w_x = \varphi_{xy} - \varphi_{yx} = 0). \quad (3.48)$$

Для задач гидродинамики довольно затруднительно перечислить типичные виды краевых условий. Эти условия могут быть и первого, и второго, и третьего рода. Ограничимся лишь рассмотрением одной из задач, возникающих в области аэродинамики, напомним, что рассматриваемые уравнения справедливы не только для жидкостей, но и для не очень разреженных газов, таких, например, как воздух.

### 3.3.5.1 Стационарное обтекание крыла

Предположим, что в неограниченной области имеется некоторый контур  $W$  (wing), моделирующий крыло (см. рис. 3.8), и обтекаемый потоком газа (воздуха). Считаем, что контур непроницаем для газа и вдали от контура (на бесконечности) скорость течения постоянна и направлена вдоль некоторого вектора

$$\mathbf{v}|_{\infty} = \mathbf{v}_{\infty}, \quad \mathbf{v}_{\infty} = (u_{\infty}, w_{\infty}), \quad \operatorname{tg} \alpha = \frac{w_{\infty}}{u_{\infty}}, \quad (3.49)$$

где  $u_{\infty}, w_{\infty}$  — заданы и  $\alpha$  — угол наклона направления течения к оси  $x$ .

Воспользовавшись определением (3.47), легко убедиться, что функция тока  $\psi(x, y)$  на бесконечности задается соотношением (с точностью до несущественной константы)

$$\psi|_{\infty} = \psi_{\infty} = u_{\infty}y - w_{\infty}x. \quad (3.50)$$

Для определения  $\psi$  имеем следующую задачу

$$\Delta\psi = 0, \quad \psi|_W = 0, \quad \psi|_{\infty} = \psi_{\infty}. \quad (3.51)$$

Краевое условие  $\psi|_W = 0$  на контуре  $W$  отвечает случаю контура, непроницаемого для газа.

Решив задачу (3.51) и используя (3.47), можно найти поле скоростей и при помощи уравнения Бернулли (3.44) определить давление  $p$  (естественно, с точностью до константы)

$$\mathbf{v} = (u, w) = (\psi_y, -\psi_x), \quad p = -\frac{1}{2}\mathbf{v}^2 = -\frac{1}{2}(\psi_x^2 + \psi_y^2). \quad (3.52)$$

Ясно, что невозможно численно решать задачу (3.51) в бесконечной области. Поэтому условие  $\psi|_{\infty} = \psi_{\infty}$  заменим условием на некоторой окружности достаточно большого радиуса  $R$

$$\psi|_{(x^2+y^2)=R^2} = \psi_{\infty}.$$

Приведем код программы на языке FreeFem++, задавая, для определенности, в качестве контура  $W$  так называемый профиль крыла NACA2412 (способ конструирования различных профилей приведен на с. 57) и выбирая следующие параметры

$$R = 5, \quad u_{\infty} = 1,0, \quad w_{\infty} = 0,5.$$

```

1  int Sp=97, Sm=98; // метки контура
2  int n=1;
3  real R=5, R0=0.8, shift=0.5; // параметры
4  real p0, m0, t0; // параметры контура крыла
5  // NACA2412
6  m0 = 0.01*2;      p0 = 0.1*4;      t0 = 0.01*12;
7  // функция для задания толщины крыла
8  func real Yt(real t)
9  { return 5*t*(0.296900*sqrt(t)- 0.126556*t - 0.356307*t^2
10     + 0.290672*t^3 - 0.104709*t^4); }
11 // функция для задания средней линии крыла
12 func real Yc(real t)
13 { return (0<=t)*(t<=p0)*(m0*(1/(p0^2))*(2*p0*t -t^2))+
14     (p0<=t)*(t<=1.0)*(m0*((1/(1-p0)^2))*((1-2*p0)+2*p0*t-t^2))); }
15 // theta=arctg(dYc/dt)
16 func real theta(real t)
17 { return atan((0<=t)*(t<=p0)*(m0*(1/(p0^2))*(2*p0 -2*t))+
18     (p0<=t)*(t<=1.0)*(m0*((1/(1-p0)^2))*(2*p0-2*t)))); }
19 // задание профиля крыла
20 border C(t=0,2*pi) { x=5*cos(t); y=5*sin(t);}
21 border WingUp(t=0,1){x = t-Yt(t)*sin(theta(t));
22     y = Yc(t)+ Yt(t)*cos(theta(t)); label=Sp; }
23 border WingDn(t=1,0){x = t+Yt(t)*sin(theta(t));
24     y = Yc(t)- Yt(t)*cos(theta(t)); label=Sm; }
25 mesh Th= buildmesh(C(50*n)+WingUp(70*n)+WingDn(70*n));
26 // задание пространства конечных элементов
27 fespace Vh(Th,P2); Vh psi,v;
28 // вспомогательный контур для визуализации в окрестности крыла
29 border c0(t=0,2*pi) { x=R0*cos(t)+shift; y=R0*sin(t); }
30 mesh Zoom = buildmesh(c0(30*n)+WingUp(35*n)+WingDn(35*n));
31 plot(c0(50*n)+WingUp(70*n)+WingDn(70*n),wait=1);
32 fespace ZVh(Zoom,P2);
33 ZVh Zpsi,Zcp,Zu,Zw;
34 // направление потока воздуха
35 real Uinfy = 1.0, Winfty = 0.5;
36 solve potential(psi,v) = int2d(Th)(dx(psi)*dx(v)+dy(psi)*dy(v))
37     + on(C, psi = Uinfy*y-Winfy*x)
38     + on(Sp, Sm, psi=0);

```

```

39 // вычисление давления и компонент скорости
40 Vh u = dy(psi), w = -dx(psi), cp = -u^2-w^2;
41 // вспомогательные операторы для визуализации
42 Zpsi = psi; Zu = u; Zw = w; Zcp = cp;
43 plot(Zpsi, wait=1, bw=1, nbiso=50);
44 plot(Zcp, wait=1, bw=1, nbiso=40);
45 plot([Zu,Zw], wait=1, bw=1, coef=0.02);

```

Результаты расчетов представлены на рис. 3.8.

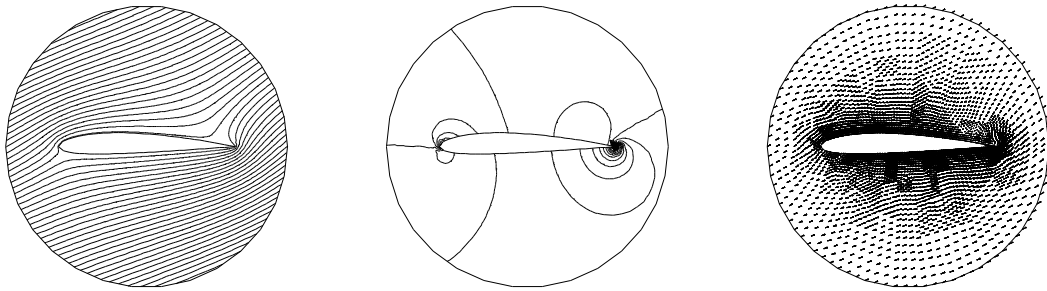


Рис. 3.8. Изолинии функции тока, давления и поле скоростей при обтекании крыла

Коротко опишем один из способов конструирования профилей крыла, известных как семейство профилей *NACA 4 digits*<sup>1</sup>.

Задается стандартная функция  $y_t(t)$ , называемая толщиной крыла, и функция  $y_c(t)$ , называемая средней линией контура крыла (chamber line or mean line)

$$y_t(t) = 5T(0,296900\sqrt{t} - 0,126556t - 0,356307t^2 + 0,290672t^3 - 0,104709t^4),$$

$$y_c(t) = \begin{cases} \frac{m}{p^2}(2pt - t^2), & 0 \leq t \leq p, \\ \frac{m}{(1-p^2)}(1 - 2p + 2pt - t^2), & p \leq t \leq 1. \end{cases}$$

Вводится вспомогательная функция  $\theta(t)$

$$\theta(t) = \operatorname{arctg} \left( \frac{dy_c(t)}{dt} \right), \quad \frac{dy_c(t)}{dt} = \begin{cases} \frac{2m}{p^2}(p - t), & 0 \leq t \leq p, \\ \frac{2m}{(1-p^2)}(p - t), & p \leq t \leq 1. \end{cases}$$

Координаты верхней (upper) и нижней (lower) частей контура крыла определяются параметрическими уравнениями

$$\begin{aligned} x_{\text{upper}} &= t - y_t(t) \sin(\theta(t)), & y_{\text{upper}} &= y_c(t) + y_t(t) \cos(\theta(t)), & 0 \leq t \leq 1, \\ x_{\text{lower}} &= t + y_t(t) \sin(\theta(t)), & y_{\text{lower}} &= y_c(t) - y_t(t) \cos(\theta(t)), & 0 \leq t \leq 1. \end{aligned}$$

<sup>1</sup> См., например, <http://www-berkeley.ansys.com/cfd/naca.html>

Параметры  $T$ ,  $m$ ,  $p$ , входящие в указанные соотношения, вычисляются по цифровому коду профиля. Например, для профиля крыла **NACA2412**, используя цифры кода в качестве числителей дробей, получим (см. рис. 3.9)

$$m = \frac{2}{100}, \quad p = \frac{4}{10}, \quad T = \frac{12}{100}.$$

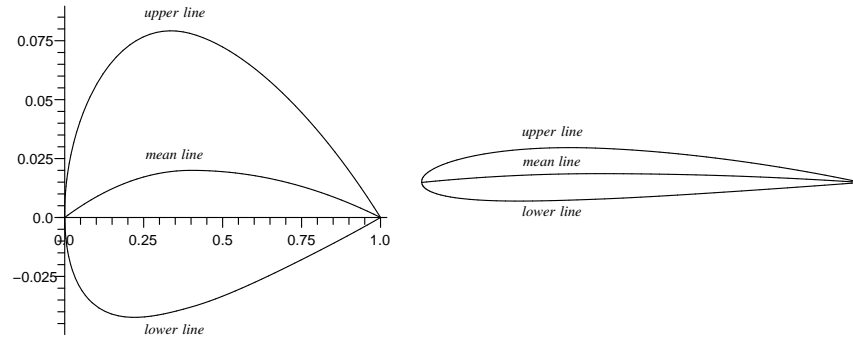


Рис. 3.9. Профиль крыла **NACA2412** (справа в масштабе 1:1)

На рис. 3.10 для сравнения показаны некоторые профили крыла **NACA**.

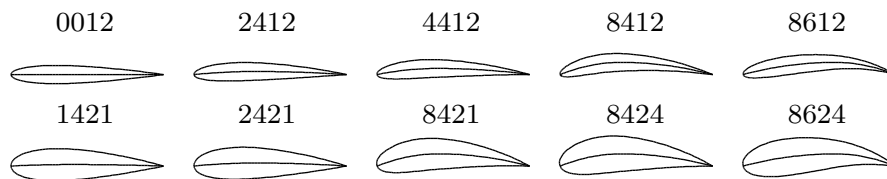


Рис. 3.10. Различные профили крыла **NACA**